

**Adopted Levels, Gammas**

Type	Author	History	Citation	Literature Cutoff Date
Full Evaluation	Ameenah R. Farhan, Balraj Singh		NDS 110,1917 (2009)	30-Jun-2009

Q( $\beta^-$ )=-3761 9; S(n)=10176 4; S(p)=4055 4; Q( $\alpha$ )=-4072 7 2012Wa38  
 Note: Current evaluation has used the following Q record -3762 11 10177 8 4056 8 -4083 9 2009AuZZ,2003Au03.  
 S(2n)=22601 8, s(2p)=11225 12 (2009AuZZ).  
 Values in 2003Au03: S(n)=10183 11, Q( $\alpha$ )=-4055 17, s(2n)=22599 8; others are the same as in 2009AuZZ.  
 Mass measurements: 1994Ot01, 1992Bo31, 1982Au01, 1979Ep01.  
 Additional information 1.  
 Structure calculations: 2003Pa03, 1997Pe18.  
 Coulomb excitation: <sup>78</sup>Rb beam, <sup>58</sup>Ni target: 1998ScZO; no details are available.

<sup>78</sup>Rb Levels

Cross Reference (XREF) Flags

<b>A</b>	<sup>78</sup> Rb IT decay (5.74 min)	<b>E</b>	<sup>54</sup> Fe( <sup>28</sup> Si,3pn $\gamma$ ),
<b>B</b>	<sup>78</sup> Sr $\epsilon$ decay (160 s)	<b>F</b>	<sup>58</sup> Ni( <sup>23</sup> Na,2pn $\gamma$ )
<b>C</b>	<sup>54</sup> Fe( <sup>28</sup> Si,3pn $\gamma$ ) E=110 MeV	<b>G</b>	<sup>64</sup> Zn( <sup>16</sup> O,np $\gamma$ )
<b>D</b>	<sup>54</sup> Fe( <sup>28</sup> Si,3pn $\gamma$ ) E=120 MeV		

E(level) <sup>†</sup>	J $\pi^{\ddagger}$	T <sub>1/2</sub> <sup>#</sup>	XREF	Comments
0.0 <sup>e</sup>	0 <sup>(+)</sup>	17.66 min 3	AB D F	% $\epsilon$ +% $\beta^+$ =100 $\Delta\langle r^2 \rangle$ (relative to <sup>87</sup> Rb)=0.3060 23 (1981Th04); isotope shift (relative to <sup>87</sup> Rb)=-478.4 15 (1981Th04). $\langle r^2 \rangle^{1/2}$ =4.241 fm 8 (2004An14 evaluation). J $\pi^{\ddagger}$ : spin from atomic-beam method (1978Ek04,1978Ek05). $\beta\gamma$ coin measurement (1981Ba40) gives negligible feeding of 2 <sup>+</sup> , suggesting $\pi=+$ ; however, $\pi=-$ is not completely ruled out. Proposed (1978Ek04) configuration= $\pi 5/2[422]v 5/2[422]$ consistent with 0 <sup>+</sup> . T <sub>1/2</sub> : from weighted average of timing of 455 $\gamma$ , 511-keV annihilation radiation, 562 $\gamma$ , 2982 $\gamma$ , 3437 $\gamma$ and 3893 $\gamma$ (1981Ba40,also 1975BaWR thesis). Others: 16.5 min 12 (1979He18), 10.6 min 30 (1974Sa32), 17.5 min 30 (1973Br32), 19 min (1972ArZS), 17.5 min 20 (1972No14).
46.84 <sup>c</sup> 14	(1 <sup>-</sup> )	0.91 $\mu$ s 4	AB D F	J $\pi^{\ddagger}$ : (E1) $\gamma$ to 0 <sup>(+)</sup> . T <sub>1/2</sub> : $\gamma\gamma$ (t) (1997Mu02) in <sup>78</sup> Sr decay. Other: 0.42 $\mu$ s 7 from $\gamma\gamma$ (t) in <sup>58</sup> Ni( <sup>23</sup> Na,2pn $\gamma$ ) (1996Ka24). Unweighted average of the two values is 0.67 $\mu$ s 24.
103.27 <sup>e</sup> 9	1 <sup>(+)</sup>		AB D F	J $\pi^{\ddagger}$ : $\Delta J=1$ , (M1) $\gamma$ to 0 <sup>(+)</sup> .
111.19 <sup>&amp;</sup> 22	4 <sup>(-)</sup>	5.74 min 3	A CDEFG	% $\epsilon$ +% $\beta^+$ =91 2; %IT=9 2 (1975BaWR) $\mu=+2.5485$ 21 (1981Th04,1989Ra17) Q=+0.81 4 (1981Th04,1989Ra17) $\mu$ ,Q: atomic-beam laser spectroscopy (1981Th04). Other: $\mu=+2.56$ 3 (atomic beam method,1978Ek04). See also 2005St24 compilation. %IT decay revised from 10% 2 in 1975BaWR to 9% 2 by the evaluators. See it decay dataset for details. $\Delta\langle r^2 \rangle$ (relative to <sup>87</sup> Rb)=0.1912 26; isotope shift (relative to <sup>87</sup> Rb)=-403.8 17 (1981Th04). T <sub>1/2</sub> : from weighted average of timing of Rb x ray, 46.8 $\gamma$ , 103 $\gamma$ , 455 $\gamma$ , 511-keV annihilation radiation and 664 $\gamma$ (1981Ba40,also 1975BaWR thesis). Others: 5.8 min 2 (1979He18), 4.4 min 8 (1974Sa32), 6.5 min 5 (1973Ba03), 6.0 min 5 (1972No14), 6 min 2 (1972ArZS), 6.0 min 2 (1972De54), 6.55 min 18 (1969Ch18), 6.0 min 10 (1968To05), (1972Bo31). J $\pi^{\ddagger}$ : spin from atomic-beam method (1978Ek04). (M3) $\gamma$ to (1 <sup>-</sup> ). The measured

Continued on next page (footnotes at end of table)

**Adopted Levels, Gammas (continued)**

<sup>78</sup>Rb Levels (continued)

E(level) <sup>†</sup>	J <sup>π</sup> <sup>‡</sup>	T <sub>1/2</sub> <sup>#</sup>	XREF	Comments
				magnetic moment agrees with proposed (1978Ek04) configuration= $\pi 5/2[422] \otimes \nu 3/2[301]$ of negative parity.
114.9 <sup>@</sup> 3	(4 <sup>+</sup> )		D F	J <sup>π</sup> : possible bandhead of $\pi g_{9/2} \otimes \nu g_{9/2}$ configuration expected from systematics of odd-odd nuclides in this region. A well-developed band is observed up to 19 <sup>+</sup> with interlocking dipole and quadrupole transitions.
119.70 22	(3 <sup>+</sup> )		D F	J <sup>π</sup> : $\gamma$ from (2 <sup>+</sup> ).
134.07 <sup>c</sup> 16	(2 <sup>-</sup> )		B D F	J <sup>π</sup> : $\Delta J=1$ $\gamma$ to (1 <sup>-</sup> ).
160.73 <sup>g</sup> 17	2 <sup>(+)</sup>		D F	J <sup>π</sup> : $\Delta J=2$ $\gamma$ to 0 <sup>(+)</sup> ; $\Delta J=1$ $\gamma$ to 1 <sup>(+)</sup> .
232.40 <sup>e</sup> 19	(2 <sup>+</sup> )		D F	J <sup>π</sup> : $\Delta J=1$ $\gamma$ to 1 <sup>(+)</sup> ; $\gamma$ to (2 <sup>-</sup> ).
263.79 <sup>&amp;</sup> 23	(5 <sup>-</sup> )	122 ps 18	CDEFG	J <sup>π</sup> : $\Delta J=1$ $\gamma$ to 4 <sup>(-)</sup> .
270.1 <sup>@</sup> 3	(5 <sup>+</sup> )	77 ps 11	D F	J <sup>π</sup> : $\Delta J=1$ $\gamma$ to (4 <sup>+</sup> ).
274.39 <sup>c</sup> 19	(3 <sup>-</sup> )		D F	J <sup>π</sup> : $\Delta J=1$ $\gamma$ to (2 <sup>-</sup> ); $\gamma$ to (1 <sup>-</sup> ).
290.07 16	(1)		B D F	J <sup>π</sup> : possible $\gamma$ to 0 <sup>(+)</sup> ; possible $\varepsilon+\beta^+$ feeding from 0 <sup>+</sup> .
315.06 18	(0 <sup>-</sup> ,1,2 <sup>+</sup> )		B D F	J <sup>π</sup> : $\gamma$ 's to 1 <sup>(+)</sup> , (1 <sup>-</sup> ) and (2 <sup>-</sup> ); possible $\varepsilon+\beta^+$ feeding from 0 <sup>+</sup> ; (2 <sup>+</sup> ) proposed in in-beam $\gamma$ -ray studies.
327.49 <sup>e</sup> 20	(3 <sup>+</sup> )		D F	J <sup>π</sup> : $\Delta J=1$ $\gamma$ to (2 <sup>+</sup> ); $\gamma$ 's to (2 <sup>-</sup> ) and 4 <sup>(-)</sup> .
334.22 <sup>f</sup> 20	(3 <sup>+</sup> )		D F	J <sup>π</sup> : $\Delta J=1$ $\gamma$ 's to (2 <sup>+</sup> ), (2 <sup>-</sup> ) and 4 <sup>(-)</sup> .
351.03 <sup>g</sup> 23	(3 <sup>+</sup> )		D F	J <sup>π</sup> : $\Delta J=1$ , (M1+E2) $\gamma$ to 2 <sup>(+)</sup> ; possible $\gamma$ to (1 <sup>+</sup> ).
395.59 <sup>b</sup> 23	(4 <sup>-</sup> )		D F	J <sup>π</sup> : $\Delta J=1$ $\gamma$ to (5 <sup>-</sup> ); $\Delta J=0$ $\gamma$ to 4 <sup>(-)</sup> ; $\gamma$ to (3 <sup>+</sup> ).
398.9 <sup>a</sup> 4	(4 <sup>+</sup> )		D F	J <sup>π</sup> : $\Delta J=1$ $\gamma$ to (5 <sup>+</sup> ); $\gamma$ to (4 <sup>+</sup> ).
422.8 <sup>@</sup> 3	(6 <sup>+</sup> )	67 ps 11	CDEFG	J <sup>π</sup> : $\Delta J=1$ $\gamma$ to (5 <sup>+</sup> ); $\Delta J=2$ , E2 $\gamma$ to (4 <sup>+</sup> ).
440.09 <sup>c</sup> 21	(4 <sup>-</sup> )		D F	J <sup>π</sup> : $\Delta J=1$ $\gamma$ 's to (3 <sup>+</sup> ) and (3 <sup>-</sup> ); $\gamma$ to (2 <sup>-</sup> ).
475.89 <sup>d</sup> 24	(4 <sup>-</sup> )		D F	J <sup>π</sup> : $\Delta J=1$ $\gamma$ 's to (3 <sup>+</sup> ) and (3 <sup>-</sup> ); $\Delta J=2$ $\gamma$ to (2 <sup>-</sup> ).
488.79 <sup>&amp;</sup> 23	6 <sup>(-)</sup>	26.3 ps 35	CDEFG	J <sup>π</sup> : $\Delta J=2$ , E2 $\gamma$ to 4 <sup>(-)</sup> ; $\Delta J=1$ , M1+E2 $\gamma$ to (5 <sup>-</sup> ); $\Delta J=1$ $\gamma$ to (5 <sup>+</sup> ).
504.60 18	(0 <sup>-</sup> ,1)		B D F	J <sup>π</sup> : $\gamma$ 's to 1 <sup>(+)</sup> , (1 <sup>-</sup> ) and (2 <sup>-</sup> ); possible $\varepsilon+\beta^+$ feeding from 0 <sup>+</sup> . No J <sup>π</sup> proposed in in-beam $\gamma$ -ray studies.
528.83 <sup>g</sup> 24	(4 <sup>+</sup> )		D F	J <sup>π</sup> : $\Delta J=1$ $\gamma$ to (3 <sup>+</sup> ); $\Delta J=2$ $\gamma$ to 2 <sup>(+)</sup> .
538.3 <sup>f</sup> 3	(4 <sup>+</sup> )		D F	J <sup>π</sup> : $\Delta J=1$ $\gamma$ to (3 <sup>+</sup> ).
595.29 <sup>b</sup> 23	(5 <sup>-</sup> )		D F	J <sup>π</sup> : $\Delta J=1$ $\gamma$ to (4 <sup>-</sup> ); $\Delta J=0$ $\gamma$ to (5 <sup>-</sup> ).
663.5 <sup>c</sup> 3	(5 <sup>-</sup> )		D F	J <sup>π</sup> : $\Delta J=1$ $\gamma$ to (4 <sup>-</sup> ); $\Delta J=0$ $\gamma$ to (5 <sup>-</sup> ); $\gamma$ to (3 <sup>-</sup> ).
667.3 <sup>@</sup> 4	(7 <sup>+</sup> )	9.7 ps 21	CDEFG	J <sup>π</sup> : $\Delta J=2$ , (E2) $\gamma$ to (5 <sup>+</sup> ); $\Delta J=1$ , M1+E2 $\gamma$ to (6 <sup>+</sup> ).
688.9 <sup>a</sup> 4	(5 <sup>+</sup> )		D F	J <sup>π</sup> : $\Delta J=1$ $\gamma$ 's to (4 <sup>+</sup> ) and (6 <sup>+</sup> ).
699.5 <sup>d</sup> 3	(5 <sup>-</sup> )		D F	J <sup>π</sup> : $\Delta J=1$ $\gamma$ to (4 <sup>-</sup> ); $\Delta J=2$ $\gamma$ to (3 <sup>-</sup> ).
736.8 <sup>a</sup> 4	(6 <sup>+</sup> )		D F	J <sup>π</sup> : $\Delta J=1$ $\gamma$ to (5 <sup>+</sup> ); $\Delta J=2$ $\gamma$ to (4 <sup>+</sup> ); $\Delta J=(0)$ $\gamma$ to (6 <sup>+</sup> ).
767.1 <sup>&amp;</sup> 3	(7 <sup>-</sup> )	9.0 ps 21	CDEFG	J <sup>π</sup> : $\Delta J=2$ , E2 $\gamma$ to (5 <sup>-</sup> ); $\Delta J=1$ $\gamma$ 's to 6 <sup>(-)</sup> and (6 <sup>+</sup> ).
785.9 <sup>f</sup> 4	(5 <sup>+</sup> )		D F	J <sup>π</sup> : $\Delta J=1$ $\gamma$ to (4 <sup>+</sup> ).
824.9 <sup>g</sup> 5	(5 <sup>+</sup> )		D F	J <sup>π</sup> : $\gamma$ 's to (3 <sup>+</sup> ) and (4 <sup>+</sup> ).
852.9 <sup>@</sup> 4	(8 <sup>+</sup> )	20.8 ps 35	CDEFG	J <sup>π</sup> : $\Delta J=1$ $\gamma$ to (7 <sup>+</sup> ); $\Delta J=2$ , E2 $\gamma$ to (6 <sup>+</sup> ).
872.19 <sup>b</sup> 24	(6 <sup>-</sup> )		D F	J <sup>π</sup> : $\Delta J=1$ $\gamma$ to (5 <sup>-</sup> ); $\Delta J=0$ $\gamma$ to 6 <sup>(-)</sup> ; $\gamma$ to (4 <sup>-</sup> ).
896.3? 4			B	J <sup>π</sup> : $\gamma$ to 1 <sup>(+)</sup> suggests <4.
949.3 <sup>c</sup> 4	(6 <sup>-</sup> )		D F	J <sup>π</sup> : $\Delta J=1$ $\gamma$ to (5 <sup>-</sup> ); $\gamma$ to (4 <sup>-</sup> ).
1017.4 <sup>d</sup> 4	(6 <sup>-</sup> )		D F	J <sup>π</sup> : $\gamma$ 's to (4 <sup>-</sup> ) and 6 <sup>(-)</sup> .
1080.9 <sup>g</sup> 5	(6 <sup>+</sup> )		D F	J <sup>π</sup> : $\gamma$ 's to (4 <sup>+</sup> ) and (5 <sup>+</sup> ).
1114.4 <sup>&amp;</sup> 3	8 <sup>(-)</sup>	3.5 ps 14	CDEF	J <sup>π</sup> : $\Delta J=1$ , (M1+E2) $\gamma$ to (7 <sup>-</sup> ); $\Delta J=2$ , E2 $\gamma$ to 6 <sup>(-)</sup> ; $\Delta J=(0)$ $\gamma$ to (6 <sup>+</sup> ).
1114.6 <sup>a</sup> 4	(7 <sup>+</sup> )		D F	J <sup>π</sup> : $\Delta J=1$ $\gamma$ 's to (6 <sup>+</sup> ) and (8 <sup>+</sup> ); $\Delta J=0$ $\gamma$ to (7 <sup>+</sup> ).
1165.79 <sup>b</sup> 25	(7 <sup>-</sup> )		D F	J <sup>π</sup> : $\Delta J=1$ $\gamma$ to (6 <sup>-</sup> ); $\Delta J=2$ $\gamma$ to (5 <sup>-</sup> ); $\gamma$ to (7 <sup>-</sup> ).
1219.7 <sup>@</sup> 4	(9 <sup>+</sup> )	2.1 ps 7	CDEFG	J <sup>π</sup> : $\Delta J=1$ , M1+E2 $\gamma$ to (8 <sup>+</sup> ); $\Delta J=2$ , E2 $\gamma$ to (7 <sup>+</sup> ).
1239.8 <sup>c</sup> 4	(7 <sup>-</sup> )		D F	J <sup>π</sup> : $\Delta J=1$ $\gamma$ to (6 <sup>-</sup> ); $\gamma$ to (5 <sup>-</sup> ).
1350.7 <sup>a</sup> 4	(8 <sup>+</sup> )		D F	J <sup>π</sup> : $\Delta J=1$ $\gamma$ to (7 <sup>+</sup> ); $\gamma$ to (6 <sup>+</sup> ).

Continued on next page (footnotes at end of table)

**Adopted Levels, Gammas (continued)** $^{78}\text{Rb}$  Levels (continued)

E(level) <sup>†</sup>	J <sup>π</sup> <sup>‡</sup>	T <sub>1/2</sub> <sup>#</sup>	XREF	Comments
1357.7 <sup>d</sup> 7	(7 <sup>-</sup> )		D F	J <sup>π</sup> : γ to (5 <sup>-</sup> ); possible γ to (6 <sup>-</sup> ).
1454.2 4	(8 <sup>+</sup> )		D F	J <sup>π</sup> : ΔJ=(1) γ to (7 <sup>+</sup> ); γ to (6 <sup>+</sup> ).
1474.3& 3	9 <sup>(-)</sup>	2.8 ps 14	CD F	J <sup>π</sup> : ΔJ=1, (M1+E2) γ to (8 <sup>-</sup> ); ΔJ=2, E2 γ to (7 <sup>-</sup> ).
1603.6 <sup>b</sup> 4	(8 <sup>-</sup> )		D F	J <sup>π</sup> : ΔJ=1 γ to (7 <sup>-</sup> ); γ to (6 <sup>-</sup> ).
1625.5@ 4	(10 <sup>+</sup> )	1.23 ps +28-21	CDEFG	J <sup>π</sup> : ΔJ=1, M1+E2 γ to (9 <sup>+</sup> ); ΔJ=2, E2 γ to (8 <sup>+</sup> ).
1678.0 <sup>c</sup> 5	(8 <sup>-</sup> )		D F	J <sup>π</sup> : γ's to (6 <sup>-</sup> ) and (7 <sup>-</sup> ).
1744.8 <sup>a</sup> 4	(9 <sup>+</sup> )		D F	J <sup>π</sup> : ΔJ=1 γ to (8 <sup>+</sup> ); ΔJ=2 γ to (7 <sup>+</sup> ).
1941.6& 4	10 <sup>(-)</sup>	0.61 ps +11-9	CD F	J <sup>π</sup> : ΔJ=1 γ to 9 <sup>(-)</sup> ; ΔJ=2, E2 γ to 8 <sup>(-)</sup> .
1984.5 <sup>b</sup> 4	(9 <sup>-</sup> )		D F	J <sup>π</sup> : γ's to (7 <sup>-</sup> ) and (8 <sup>-</sup> ).
2023.6@ 4	(11 <sup>+</sup> )	0.63 ps +12-10	CDEF	J <sup>π</sup> : ΔJ=1 γ to (10 <sup>+</sup> ); ΔJ=2, E2 γ to (9 <sup>+</sup> ).
2043.6 <sup>c</sup> 7	(9 <sup>-</sup> )		D F	J <sup>π</sup> : γ's to (7 <sup>-</sup> ) and (8 <sup>-</sup> ).
2369.2& 4	11 <sup>(-)</sup>	0.39 ps +7-6	CD F	J <sup>π</sup> : ΔJ=1 γ to 10 <sup>(-)</sup> ; ΔJ=2, E2 γ to 9 <sup>(-)</sup> .
2651.1@ 5	(12 <sup>+</sup> )		CD F	J <sup>π</sup> : ΔJ=1 γ to (11 <sup>+</sup> ); ΔJ=2 γ to (10 <sup>+</sup> ).
2955.4& 7	12 <sup>(-)</sup>	0.28 ps +7-6	CD F	J <sup>π</sup> : ΔJ=2, E2 γ to 10 <sup>(-)</sup> .
3042.0@ 5	(13 <sup>+</sup> )	0.28 ps +8-6	CDEF	J <sup>π</sup> : ΔJ=1 γ to (12 <sup>+</sup> ); ΔJ=2, E2 γ to (11 <sup>+</sup> ).
3452.8& 8	(13 <sup>-</sup> )	0.17 ps +6-5	CD F	J <sup>π</sup> : γ to 11 <sup>(-)</sup> .
3897.1@ 21	(14 <sup>+</sup> )	<0.21 ps	CD F	J <sup>π</sup> : γ to (12 <sup>+</sup> ).
4151.4& 13	(14 <sup>-</sup> )	<0.24 ps	CD F	J <sup>π</sup> : γ to 12 <sup>(-)</sup> .
4253.7@ 10	(15 <sup>+</sup> )	0.14 ps +5-4	CDEF	J <sup>π</sup> : γ to (13 <sup>+</sup> ).
4730.8& 22	(15 <sup>-</sup> )	<0.18 ps	CD F	J <sup>π</sup> : γ to (13 <sup>-</sup> ).
5327.1@ 21	(16 <sup>+</sup> )		C	J <sup>π</sup> : γ to (14 <sup>+</sup> ).
5638.7@ 14	(17 <sup>+</sup> )	<0.12 ps	CD F	J <sup>π</sup> : γ to (15 <sup>+</sup> ).
6202.8& 24	(17 <sup>-</sup> )		C	J <sup>π</sup> : γ to (15 <sup>-</sup> ).
7191.7@ 25	(19 <sup>+</sup> )		CD F	J <sup>π</sup> : γ to (17 <sup>+</sup> ).
7865.9& 26	(19)		C	J <sup>π</sup> : γ to (17 <sup>-</sup> ).
8930.8@ 27	(21 <sup>+</sup> )		C	J <sup>π</sup> : γ to (19 <sup>+</sup> ).
9722.9& 28	(21)		C	J <sup>π</sup> : γ to (19).

<sup>†</sup> From least-squares fit to Eγ's, assuming Δ(Eγ)=0.3 or 1 keV when not stated.

<sup>‡</sup> From γγ(θ), γ(lin pol) measurements and band assignments, unless stated otherwise. In heavy-ion reactions, ascending spins are assumed as the excitation energy rises.

<sup>#</sup> For levels above 120 keV, values longer than ≈2 ps are from recoil-distance Doppler shift (RDDS) (1998Ka56) and shorter than ≈2 ps are from Doppler-shift attenuation (DSA) method in  $^{58}\text{Ni}(^{23}\text{Na}, 2\text{pn})\gamma$  reaction (1996Ka24).

@ Band(A): Yrast πi=+ band. Possible configuration=πg<sub>9/2</sub>⊗vg<sub>9/2</sub> (1996Ka24) as for neighboring nuclides.

& Band(B): Yrast π=- band.

<sup>a</sup> Band(C): Band based on 399, (4<sup>+</sup>).

<sup>b</sup> Band(D): Band based on 395, (4<sup>-</sup>).

<sup>c</sup> Band(E): Band based on 47, (1<sup>-</sup>).

<sup>d</sup> Band(F): Band based on 476, (4<sup>-</sup>).

<sup>e</sup> Band(G): g.s. band.

<sup>f</sup> Band(H): Band based on 334, (3<sup>+</sup>).

<sup>g</sup> Band(I): Band based on 161, (2<sup>+</sup>).

**Adopted Levels, Gammas (continued)**

$\gamma(^{78}\text{Rb})$									
$E_i(\text{level})$	$J_i^\pi$	$E_\gamma^\dagger$	$I_\gamma^\dagger$	$E_f$	$J_f^\pi$	Mult. <sup>@</sup>	$\delta^@$	$\alpha^\&$	Comments
46.84	(1 <sup>-</sup> )	46.8 2	100	0.0	0 <sup>(+)</sup>	(E1) <sup>‡</sup>		0.882 17	$\alpha(\text{K})=0.778$ 15; $\alpha(\text{L})=0.0886$ 17; $\alpha(\text{M})=0.0144$ 3; $\alpha(\text{N}+..)=0.00161$ 3 $\alpha(\text{N})=0.00156$ 3; $\alpha(\text{O})=5.69 \times 10^{-5}$ 11 B(E1)(W.u.)= $2.11 \times 10^{-6}$ 11 $E_\gamma$ : from in-beam $\gamma$ -ray data and IT decay. 1972LiZL report 47.10 10 in IT decay.
103.27	1 <sup>(+)</sup>	103.30 <sup>‡</sup> 10	100	0.0	0 <sup>(+)</sup>	(M1) <sup>‡</sup>		0.1324	$\alpha(\text{K})=0.1167$ 17; $\alpha(\text{L})=0.01320$ 19; $\alpha(\text{M})=0.00218$ 4; $\alpha(\text{N}+..)=0.000257$ 4 $\alpha(\text{N})=0.000246$ 4; $\alpha(\text{O})=1.043 \times 10^{-5}$ 15
111.19	4 <sup>(-)</sup>	8.6 <sup>‡</sup>		103.27	1 <sup>(+)</sup>	[E3]		4.88 $\times 10^6$	$\alpha(\text{L})=4.06 \times 10^6$ 6; $\alpha(\text{M})=7.59 \times 10^5$ 11; $\alpha(\text{N}+..)=6.39 \times 10^4$ 9 $\alpha(\text{N})=6.39 \times 10^4$ 9; $\alpha(\text{O})=6.78$ 10
		64.4 <sup>‡</sup>		46.84	(1 <sup>-</sup> )	(M3) <sup>‡</sup>		105.4	$\alpha(\text{K})=79.4$ 12; $\alpha(\text{L})=21.8$ 3; $\alpha(\text{M})=3.81$ 6; $\alpha(\text{N}+..)=0.408$ 6 $\alpha(\text{N})=0.397$ 6; $\alpha(\text{O})=0.01151$ 17
114.9	(4 <sup>+</sup> )	(4)		111.19	4 <sup>(-)</sup>				
119.70	(3 <sup>+</sup> )	(5)		114.9	(4 <sup>+</sup> )				
134.07	(2 <sup>-</sup> )	87.3 2	100	46.84	(1 <sup>-</sup> )	D			
160.73	2 <sup>(+)</sup>	57.5 2	100 9	103.27	1 <sup>(+)</sup>	D			
		160.7 3	72 22	0.0	0 <sup>(+)</sup>	Q			
232.40	(2 <sup>+</sup> )	98.3 2	7 3	134.07	(2 <sup>-</sup> )				
		112.7 2	8 4	119.70	(3 <sup>+</sup> )				
		129.2 3	100 10	103.27	1 <sup>(+)</sup>	D			
263.79	(5 <sup>-</sup> )	148.9 3	$\approx 3$	114.9	(4 <sup>+</sup> )	D			
		152.6 1	$\approx 100$	111.19	4 <sup>(-)</sup>	D			
270.1	(5 <sup>+</sup> )	155.2 1	100	114.9	(4 <sup>+</sup> )	D+Q	+0.11 5		
274.39	(3 <sup>-</sup> )	140.3 2	100 8	134.07	(2 <sup>-</sup> )	D			
		227.6 3	15 4	46.84	(1 <sup>-</sup> )				
290.07	(1)	156.2	13 1	134.07	(2 <sup>-</sup> )				$E_\gamma, I_\gamma$ : from <sup>78</sup> Sr $\epsilon$ decay. 155 $\gamma$ is a complex line in in-beam $\gamma$ -ray studies.
		186.7 3	34 2	103.27	1 <sup>(+)</sup>				
		243.1 3	100 5	46.84	(1 <sup>-</sup> )				
		289.9 3	33 12	0.0	0 <sup>(+)</sup>				$E_\gamma$ : $\gamma$ from in-beam $\gamma$ -ray studies only.
315.06	(0 <sup>-</sup> , 1, 2 <sup>+</sup> )	24.8	$\approx 8$	290.07	(1)				$E_\gamma, I_\gamma$ : from <sup>78</sup> Sr $\epsilon$ decay only. Expected to Be mostly converted.
		181.3 4	42 2	134.07	(2 <sup>-</sup> )				$I_\gamma$ : other: 13 3 in in-beam $\gamma$ -ray studies.
		212.2 3	92 5	103.27	1 <sup>(+)</sup>				
		268.1	100 5	46.84	(1 <sup>-</sup> )				
327.49	(3 <sup>+</sup> )	95.1 3	100 8	232.40	(2 <sup>+</sup> )	D			$E_\gamma$ : $\gamma$ from <sup>78</sup> Sr $\epsilon$ decay only.
		193.4 3	6 3	134.07	(2 <sup>-</sup> )				
		207.8 3	38 10	119.70	(3 <sup>+</sup> )				

Adopted Levels, Gammas (continued)

$\gamma(^{78}\text{Rb})$  (continued)

$E_i(\text{level})$	$J_i^\pi$	$E_\gamma^\dagger$	$I_\gamma^\dagger$	$E_f$	$J_f^\pi$	Mult. @	$\delta^@$	$\alpha^\&$	Comments
327.49	(3 <sup>+</sup> )	216.3 3	31 8	111.19	4 <sup>(-)</sup>				
334.22	(3 <sup>+</sup> )	173.5 2	88 10	160.73	2 <sup>(+)</sup>	D			
		214.5 3	100 14	119.70	(3 <sup>+</sup> )	D			Mult.: $\Delta J=0$ transition.
		223.0 4	26 10	111.19	4 <sup>(-)</sup>	D			
351.03	(3 <sup>+</sup> )	190.3 2	100 7	160.73	2 <sup>(+)</sup>	(M1+E2)	+0.30 20	0.031 8	$\alpha(\text{K})=0.027 7$ ; $\alpha(\text{L})=0.0031 9$ ; $\alpha(\text{M})=0.00052 15$ ; $\alpha(\text{N+..})=6.1 \times 10^{-5} 16$ $\alpha(\text{N})=5.8 \times 10^{-5} 16$ ; $\alpha(\text{O})=2.4 \times 10^{-6} 6$
		247.8 <sup>a</sup> 3	<7	103.27	1 <sup>(+)</sup>				
395.59	(4 <sup>-</sup> )	68.1 3	5.4 25	327.49	(3 <sup>+</sup> )	D			
		131.8 2	27 4	263.79	(5 <sup>-</sup> )	D			
		284.4 2	100 13	111.19	4 <sup>(-)</sup>	D			Mult.: $\Delta J=0$ transition.
398.9	(4 <sup>+</sup> )	128.8 2	58 6	270.1	(5 <sup>+</sup> )	D			
		284.0 2	100 13	114.9	(4 <sup>+</sup> )	(D)			
422.8	(6 <sup>+</sup> )	152.7 1	100.0 25	270.1	(5 <sup>+</sup> )	D			
		307.9 1	30.4 13	114.9	(4 <sup>+</sup> )	E2		0.01657	$\alpha(\text{K})=0.01456 21$ ; $\alpha(\text{L})=0.001704 24$ ; $\alpha(\text{M})=0.000281 4$ ; $\alpha(\text{N+..})=3.22 \times 10^{-5} 5$ $\alpha(\text{N})=3.10 \times 10^{-5} 5$ ; $\alpha(\text{O})=1.211 \times 10^{-6} 17$ $\text{B}(\text{E}2)(\text{W.u.})=36 7$
440.09	(4 <sup>-</sup> )	112.6 3	89 19	327.49	(3 <sup>+</sup> )	D			
		165.7 2	100 8	274.39	(3 <sup>-</sup> )	D			
		306.0 3	11 6	134.07	(2 <sup>-</sup> )				
475.89	(4 <sup>-</sup> )	148.4 3	41 8	327.49	(3 <sup>+</sup> )	D			
		201.5 3	100 16	274.39	(3 <sup>-</sup> )	D			
		341.8 4	72 16	134.07	(2 <sup>-</sup> )	Q			
488.79	6 <sup>(-)</sup>	218.7 4	4.0 11	270.1	(5 <sup>+</sup> )	D			
		225.0 1	100 4	263.79	(5 <sup>-</sup> )	M1+E2	+0.38 11	0.0209 23	$\alpha(\text{K})=0.0184 20$ ; $\alpha(\text{L})=0.0021 3$ ; $\alpha(\text{M})=0.00035 5$ ; $\alpha(\text{N+..})=4.0 \times 10^{-5} 5$ $\alpha(\text{N})=3.9 \times 10^{-5} 5$ ; $\alpha(\text{O})=1.59 \times 10^{-6} 16$ $\text{B}(\text{M}1)(\text{W.u.})=0.037 6$ ; $\text{B}(\text{E}2)(\text{W.u.})=140 80$
		377.6 1	69 4	111.19	4 <sup>(-)</sup>	E2		0.00834	$\alpha(\text{K})=0.00735 11$ ; $\alpha(\text{L})=0.000842 12$ ; $\alpha(\text{M})=0.0001388 20$ ; $\alpha(\text{N+..})=1.604 \times 10^{-5} 23$ $\alpha(\text{N})=1.542 \times 10^{-5} 22$ ; $\alpha(\text{O})=6.18 \times 10^{-7} 9$ $\text{B}(\text{E}2)(\text{W.u.})=56 9$
504.60	(0 <sup>-</sup> ,1)	189.8	50 3	315.06	(0 <sup>-</sup> ,1,2 <sup>+</sup> )				
		214.5	100 6	290.07	(1)				
		370.5	31 3	134.07	(2 <sup>-</sup> )				
		401.2 <sup>#</sup>	$\approx 50^{\#}$	103.27	1 <sup>(+)</sup>				
		457.7	94 6	46.84	(1 <sup>-</sup> )				
528.83	(4 <sup>+</sup> )	177.8 2	100 17	351.03	(3 <sup>+</sup> )	D			
		194.6 3	37 10	334.22	(3 <sup>+</sup> )	D			

Adopted Levels, Gammas (continued)

γ(<sup>78</sup>Rb) (continued)

<u>E<sub>i</sub>(level)</u>	<u>J<sub>i</sub><sup>π</sup></u>	<u>E<sub>γ</sub><sup>†</sup></u>	<u>I<sub>γ</sub><sup>†</sup></u>	<u>E<sub>f</sub></u>	<u>J<sub>f</sub><sup>π</sup></u>	<u>Mult.<sup>@</sup></u>	<u>δ<sup>@</sup></u>	<u>α<sup>&amp;</sup></u>	<u>Comments</u>
528.83	(4 <sup>+</sup> )	368.1 4	127 45	160.73	2 <sup>(+)</sup>	Q			
538.3	(4 <sup>+</sup> )	187.3 2	100 14	351.03	(3 <sup>+</sup> )	D			
		204.1 3	113 34	334.22	(3 <sup>+</sup> )	D			
595.29	(5 <sup>-</sup> )	155.2 2	72 18	440.09	(4 <sup>-</sup> )	D			
		199.7 2	74 11	395.59	(4 <sup>-</sup> )	D(+Q)	+0.03 5		
		331.5 2	100 8	263.79	(5 <sup>-</sup> )	D			Mult.: ΔJ=0 transition.
		484.1 3	19 6	111.19	4 <sup>(-)</sup>				
663.5	(5 <sup>-</sup> )	223.4 3	79 18	440.09	(4 <sup>-</sup> )	D			
		389.1 4	14 8	274.39	(3 <sup>-</sup> )				
		399.7 3	100 25	263.79	(5 <sup>-</sup> )	D			Mult.: ΔJ=0 transition.
667.3	(7 <sup>+</sup> )	244.5 1	100.0 22	422.8	(6 <sup>+</sup> )	M1+E2	+0.07 5	0.0136 3	α(K)=0.0121 3; α(L)=0.00133 3; α(M)=0.000220 5; α(N+..)=2.60×10 <sup>-5</sup> 6 α(N)=2.49×10 <sup>-5</sup> 6; α(O)=1.069×10 <sup>-6</sup> 22 B(M1)(W.u.)=0.13 3; B(E2)(W.u.)=14 +21-14 B(E2)(W.u.)=36 10
688.9	(5 <sup>+</sup> )	397.2 3	13.8 22	270.1	(5 <sup>+</sup> )	(E2)			
		266.1 4	29 6	422.8	(6 <sup>+</sup> )	D			
		290.0 3	100 13	398.9	(4 <sup>+</sup> )	D			
699.5	(5 <sup>-</sup> )	223.6 3	97 22	475.89	(4 <sup>-</sup> )	D			
		425.1 3	100 22	274.39	(3 <sup>-</sup> )	Q			
736.8	(6 <sup>+</sup> )	47.9 3		688.9	(5 <sup>+</sup> )				
		313.8 3	37 6	422.8	(6 <sup>+</sup> )	(D)			Mult.: ΔJ=0 transition.
		337.9 3	36 6	398.9	(4 <sup>+</sup> )	Q			
		466.7 3	100 15	270.1	(5 <sup>+</sup> )	D			
767.1	(7 <sup>-</sup> )	278.3 2	59 4	488.79	6 <sup>(-)</sup>	D			
		344.3 4	2.2 9	422.8	(6 <sup>+</sup> )	D			
		503.3 3	100 4	263.79	(5 <sup>-</sup> )	E2			B(E2)(W.u.)=61 15
785.9	(5 <sup>+</sup> )	247.6 5	100 18	538.3	(4 <sup>+</sup> )	D			
		257.1 3	68 17	528.83	(4 <sup>+</sup> )				
824.9	(5 <sup>+</sup> )	286.6 <sup>a</sup> 3	<150	538.3	(4 <sup>+</sup> )				
		296.1 <sup>a</sup> 4	<100	528.83	(4 <sup>+</sup> )				
		473.9 4	100 50	351.03	(3 <sup>+</sup> )				
852.9	(8 <sup>+</sup> )	185.6 2	54.9 20	667.3	(7 <sup>+</sup> )	D+Q	+0.07 3		
		430.1 2	100 4	422.8	(6 <sup>+</sup> )	E2			B(E2)(W.u.)=60 11
872.19	(6 <sup>-</sup> )	276.9 1	100 5	595.29	(5 <sup>-</sup> )	D			
		383.4 2	60 6	488.79	6 <sup>(-)</sup>	D			Mult.: ΔJ=0 transition.
		476.6 4	17.1 25	395.59	(4 <sup>-</sup> )				
896.3?		793.0 <sup>a</sup>	100	103.27	1 <sup>(+)</sup>				
949.3	(6 <sup>-</sup> )	285.8 4	100 24	663.5	(5 <sup>-</sup> )	D			
		509.2 5	36 18	440.09	(4 <sup>-</sup> )				
1017.4	(6 <sup>-</sup> )	317.9 4	38 12	699.5	(5 <sup>-</sup> )				
		528.6 5	100 26	488.79	6 <sup>(-)</sup>				

Adopted Levels, Gammas (continued)

γ(<sup>78</sup>Rb) (continued)

<u>E<sub>i</sub>(level)</u>	<u>J<sub>i</sub><sup>π</sup></u>	<u>E<sub>γ</sub><sup>†</sup></u>	<u>I<sub>γ</sub><sup>†</sup></u>	<u>E<sub>f</sub></u>	<u>J<sub>f</sub><sup>π</sup></u>	<u>Mult.<sup>@</sup></u>	<u>δ<sup>@</sup></u>	<u>Comments</u>
1017.4	(6 <sup>-</sup> )	541.5 5	65 28	475.89	(4 <sup>-</sup> )			
1080.9	(6 <sup>+</sup> )	295.0 4	100 19	785.9	(5 <sup>+</sup> )			
		552.1 5	36 14	528.83	(4 <sup>+</sup> )			
1114.4	8 <sup>(-)</sup>	347.3 3	37 4	767.1	(7 <sup>-</sup> )	(M1+E2)	+0.16 7	B(M1)(W.u.)=0.039 17; B(E2)(W.u.)=11 11
		625.6 3	100 5	488.79	6 <sup>(-)</sup>	E2		B(E2)(W.u.)=60 30
1114.6	(7 <sup>+</sup> )	261.7 3	25 7	852.9	(8 <sup>+</sup> )	D		
		377.8 2	100 10	736.8	(6 <sup>+</sup> )	D		
		447.3 3	21 7	667.3	(7 <sup>+</sup> )	D		Mult.: ΔJ=0 transition.
1165.79	(7 <sup>-</sup> )	293.6 1	100 14	872.19	(6 <sup>-</sup> )	D		
		398.7 4	11 4	767.1	(7 <sup>-</sup> )			
		570.5 3	58 14	595.29	(5 <sup>-</sup> )	Q		
1219.7	(9 <sup>+</sup> )	366.8 1	100 3	852.9	(8 <sup>+</sup> )	M1+E2	+0.12 5	B(M1)(W.u.)=0.17 6; B(E2)(W.u.)=24 21
		552.4 2	22 3	667.3	(7 <sup>+</sup> )	E2		B(E2)(W.u.)=48 18
1239.8	(7 <sup>-</sup> )	290.5 3	100 27	949.3	(6 <sup>-</sup> )	D		
		576.3 5	60 14	663.5	(5 <sup>-</sup> )			
1350.7	(8 <sup>+</sup> )	236.1 2	34 6	1114.6	(7 <sup>+</sup> )	D		
		613.9 3	27 8	736.8	(6 <sup>+</sup> )			
		683.4 3	100 15	667.3	(7 <sup>+</sup> )	D(+Q)	+0.07 11	
1357.7	(7 <sup>-</sup> )	340.3 <sup>a</sup> 4	<29	1017.4	(6 <sup>-</sup> )			
		658.2 6	100 36	699.5	(5 <sup>-</sup> )			
1454.2	(8 <sup>+</sup> )	339.6 3	100 23	1114.6	(7 <sup>+</sup> )	(D)		
		717.4 4	89 28	736.8	(6 <sup>+</sup> )			
1474.3	9 <sup>(-)</sup>	359.9 3	26 5	1114.4	8 <sup>(-)</sup>	(M1+E2)	+0.23 7	B(M1)(W.u.)=0.033 18; B(E2)(W.u.)=17 14
		707.2 2	100 10	767.1	(7 <sup>-</sup> )	E2		B(E2)(W.u.)=46 24
1603.6	(8 <sup>-</sup> )	437.8 3	100 18	1165.79	(7 <sup>-</sup> )	D		
		731.4 6	85 27	872.19	(6 <sup>-</sup> )			
1625.5	(10 <sup>+</sup> )	405.8 2	19 3	1219.7	(9 <sup>+</sup> )	M1+E2	+0.07 5	B(M1)(W.u.)=0.0425 3; B(E2)(W.u.)=1.6 +24-16
		772.6 2	100 8	852.9	(8 <sup>+</sup> )	E2		B(E2)(W.u.)=71 +15-18
1678.0	(8 <sup>-</sup> )	438.2 4	31 15	1239.8	(7 <sup>-</sup> )			
		728.7 6	100 38	949.3	(6 <sup>-</sup> )			
1744.8	(9 <sup>+</sup> )	394.1 2	100 14	1350.7	(8 <sup>+</sup> )	D		
		891.9 4	69 19	852.9	(8 <sup>+</sup> )	D		
		1077.5 3	76 32	667.3	(7 <sup>+</sup> )	Q		
1941.6	10 <sup>(-)</sup>	467.3 3	28 6	1474.3	9 <sup>(-)</sup>	D		
		827.2 2	100 14	1114.4	8 <sup>(-)</sup>	E2		B(E2)(W.u.)=95 +23-25
1984.5	(9 <sup>-</sup> )	380.9 4	24 8	1603.6	(8 <sup>-</sup> )			
		818.7 4	100 29	1165.79	(7 <sup>-</sup> )			
2023.6	(11 <sup>+</sup> )	398.1 2	94 10	1625.5	(10 <sup>+</sup> )	D		
		803.9 3	100 10	1219.7	(9 <sup>+</sup> )	E2		B(E2)(W.u.)=70 +14-16
2043.6	(9 <sup>-</sup> )	365.6 <sup>a</sup> 4	<45	1678.0	(8 <sup>-</sup> )			
		803.8 5	100 33	1239.8	(7 <sup>-</sup> )			

**Adopted Levels, Gammas (continued)**

$\gamma(^{78}\text{Rb})$  (continued)

$E_i(\text{level})$	$J_i^\pi$	$E_\gamma^\dagger$	$I_\gamma^\dagger$	$E_f$	$J_f^\pi$	Mult. <sup>@</sup>	Comments
2369.2	11 <sup>(-)</sup>	427.6 3	18 8	1941.6	10 <sup>(-)</sup>	D	
		894.9 4	100 22	1474.3	9 <sup>(-)</sup>	E2	B(E2)(W.u.)=110 20
2651.1	(12 <sup>+</sup> )	627.5 3	17 5	2023.6	(11 <sup>+</sup> )	D	
		1025.6 6	100 27	1625.5	(10 <sup>+</sup> )	Q	
2955.4	12 <sup>(-)</sup>	1013.8 6	100	1941.6	10 <sup>(-)</sup>	E2	B(E2)(W.u.)=95 +21-24
3042.0	(13 <sup>+</sup> )	390.9 3	23 8	2651.1	(12 <sup>+</sup> )	D	
		1018.4 5	100 23	2023.6	(11 <sup>+</sup> )	E2	B(E2)(W.u.)=80 +30-40
3452.8	(13 <sup>-</sup> )	1083.6 7	100	2369.2	11 <sup>(-)</sup>	[E2]	B(E2)(W.u.)=110 20
3897.1	(14 <sup>+</sup> )	1246 2	100	2651.1	(12 <sup>+</sup> )	[E2]	B(E2)(W.u.)>45
4151.4	(14 <sup>-</sup> )	1196 1	100	2955.4	12 <sup>(-)</sup>	[E2]	B(E2)(W.u.)>48
4253.7	(15 <sup>+</sup> )	1211.7 8	100	3042.0	(13 <sup>+</sup> )	[E2]	B(E2)(W.u.)=78 +23-28
4730.8	(15 <sup>-</sup> )	1278 2	100	3452.8	(13 <sup>-</sup> )	[E2]	B(E2)(W.u.)>46
5327.1	(16 <sup>+</sup> )	1430		3897.1	(14 <sup>+</sup> )		
5638.7	(17 <sup>+</sup> )	1385 1	100	4253.7	(15 <sup>+</sup> )	[E2]	B(E2)(W.u.)>47
6202.8	(17 <sup>-</sup> )	1471		4730.8	(15 <sup>-</sup> )		
7191.7	(19 <sup>+</sup> )	1553 2	100	5638.7	(17 <sup>+</sup> )		
7865.9	(19)	1664		6202.8	(17 <sup>-</sup> )		
8930.8	(21 <sup>+</sup> )	1739		7191.7	(19 <sup>+</sup> )		
9722.9	(21)	1857		7865.9	(19)		

<sup>†</sup> For  $\gamma$  rays from low-spin ( $J < 2$ ) the data are from IT decay and <sup>78</sup>Sr  $\epsilon$  decay. For levels of higher spins the values are primarily from (<sup>23</sup>Na,2pn $\gamma$ ) and (<sup>28</sup>Si,3pn $\gamma$ ) E=120 MeV reactions (1996Ka24).

<sup>‡</sup> From <sup>78</sup>Rb IT decay, quoted by 1996Ka24 from 1991McZZ.

<sup>#</sup> From <sup>78</sup>Sr  $\epsilon$  decay.

<sup>@</sup> From  $\gamma(\theta)$ ,  $\gamma\gamma(\theta)$ (DCO) data, including  $\gamma(\text{lin pol})$  data for selected transitions in the following reactions: (<sup>28</sup>Si,3pn $\gamma$ ), (<sup>23</sup>Na,2pn $\gamma$ ) and (<sup>16</sup>O,np $\gamma$ ) reactions. For gammas from levels of measured lifetimes, RUL for E2 and M2 transitions are also used to discard M2 multipolarity.

<sup>&</sup> Total theoretical internal conversion coefficients, calculated using the BrIcc code (2008Ki07) with Frozen orbital approximation based on  $\gamma$ -ray energies, assigned multipolarities, and mixing ratios, unless otherwise specified.

<sup>a</sup> Placement of transition in the level scheme is uncertain.

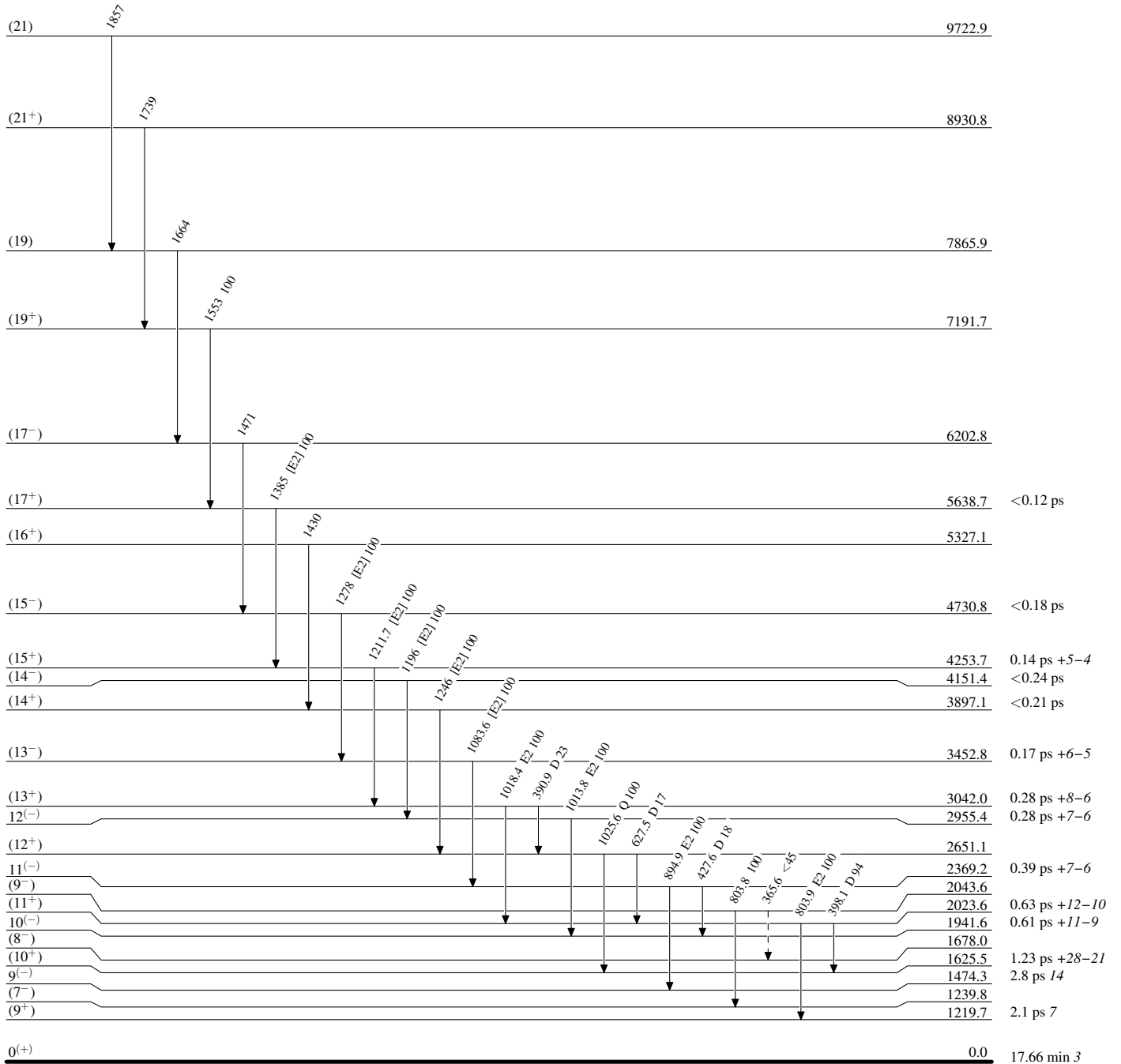
**Adopted Levels, Gammas**

Legend

Level Scheme

Intensities: Relative photon branching from each level

-----▶  $\gamma$  Decay (Uncertain)



<sup>78</sup>Rb<sub>41</sub>

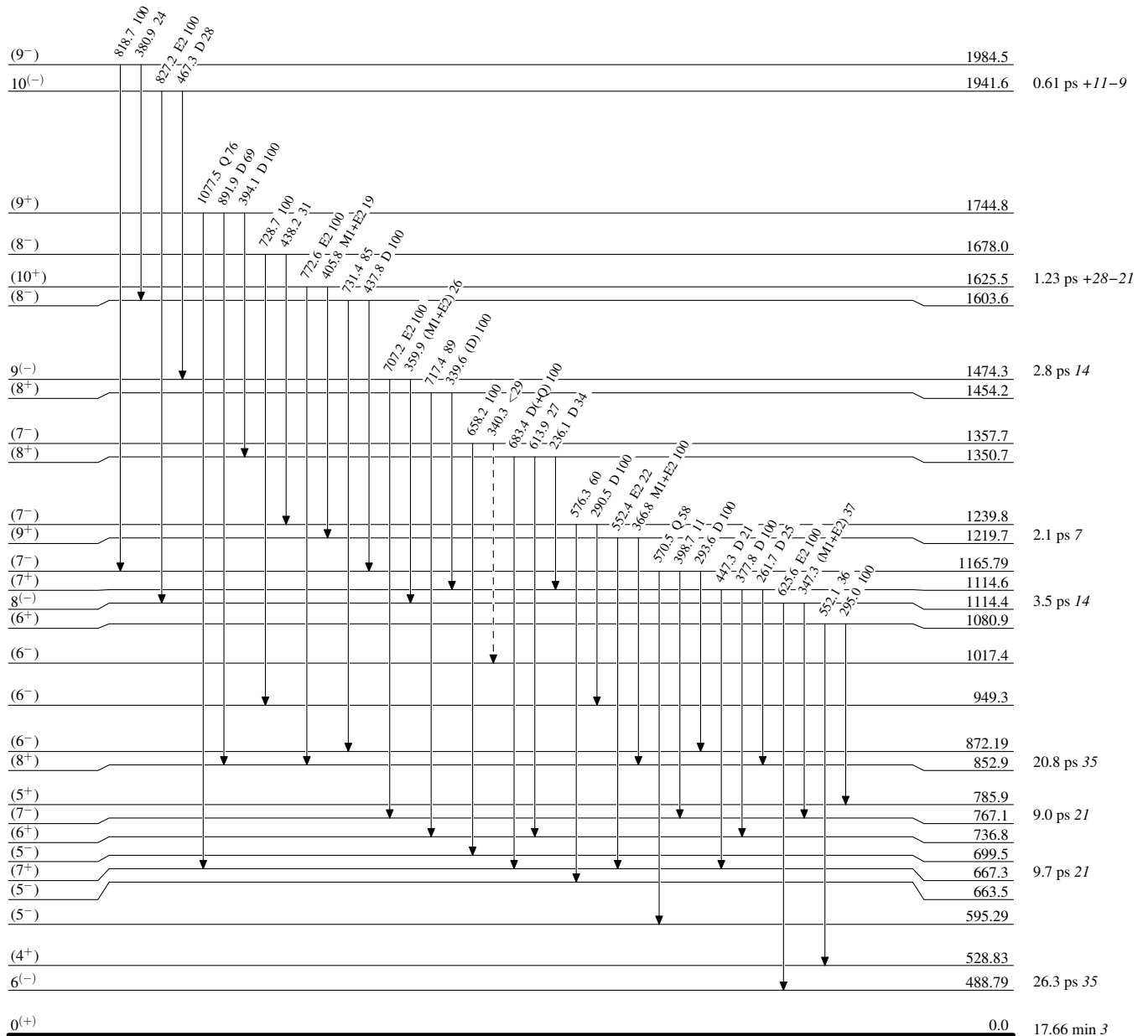
**Adopted Levels, Gammas**

Legend

Level Scheme (continued)

Intensities: Relative photon branching from each level

-----▶  $\gamma$  Decay (Uncertain)



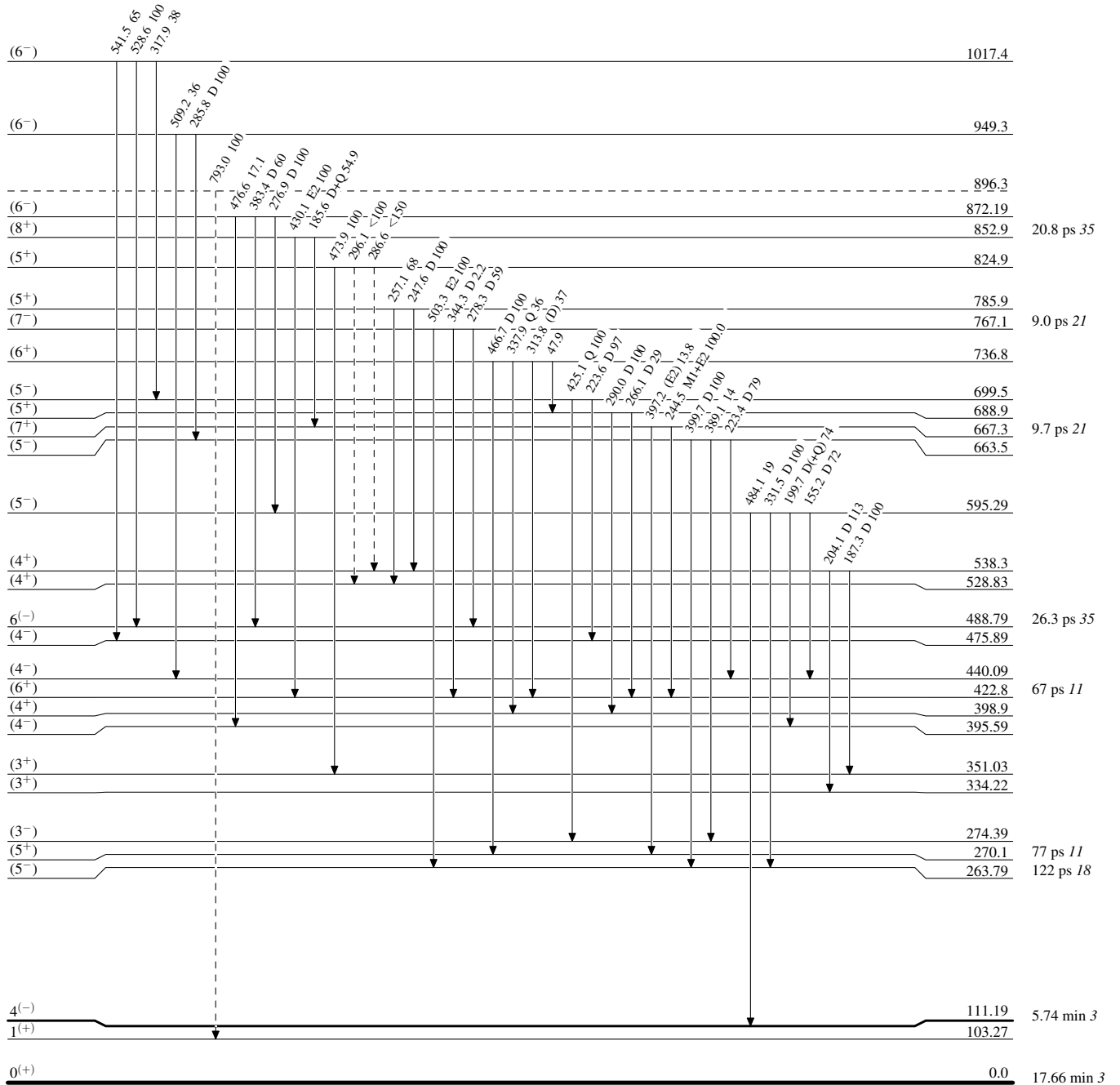
**Adopted Levels, Gammas**

Legend

**Level Scheme (continued)**

Intensities: Relative photon branching from each level

-----▶  $\gamma$  Decay (Uncertain)



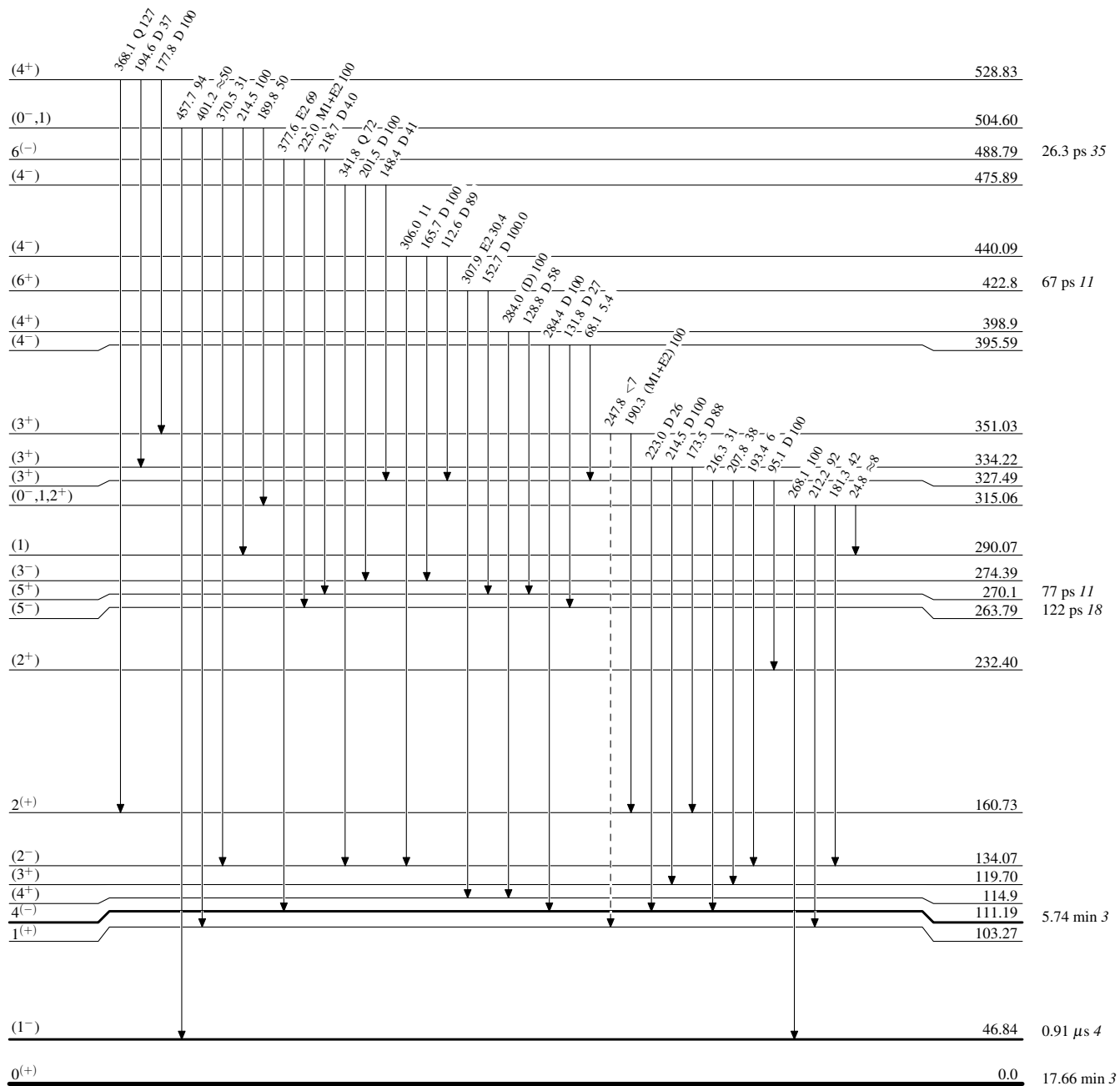
**Adopted Levels, Gammas**

Legend

**Level Scheme (continued)**

Intensities: Relative photon branching from each level

-----►  $\gamma$  Decay (Uncertain)



$^{78}_{37}\text{Rb}_{41}$

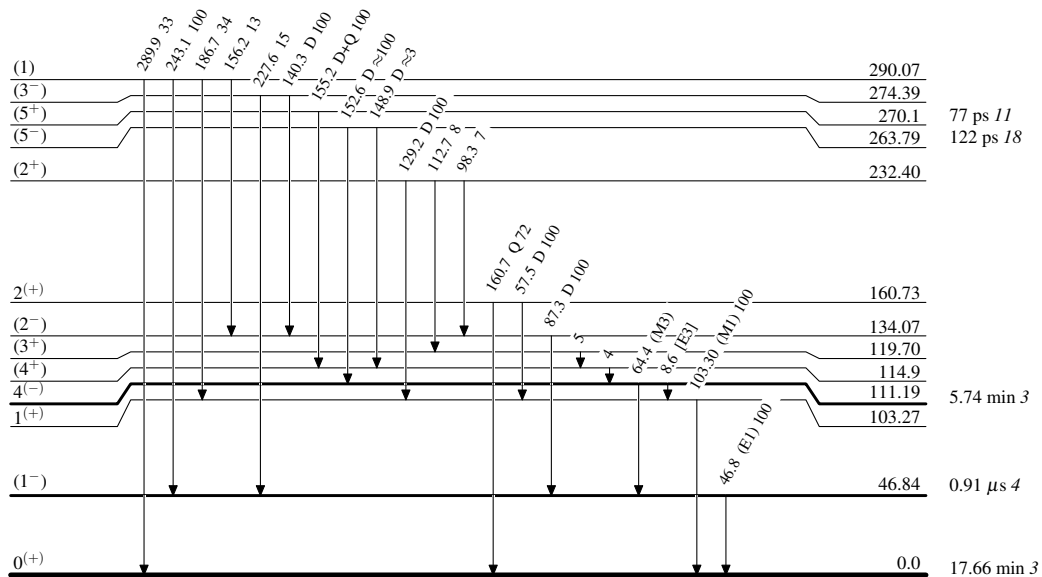
**Adopted Levels, Gammas**

Legend

**Level Scheme (continued)**

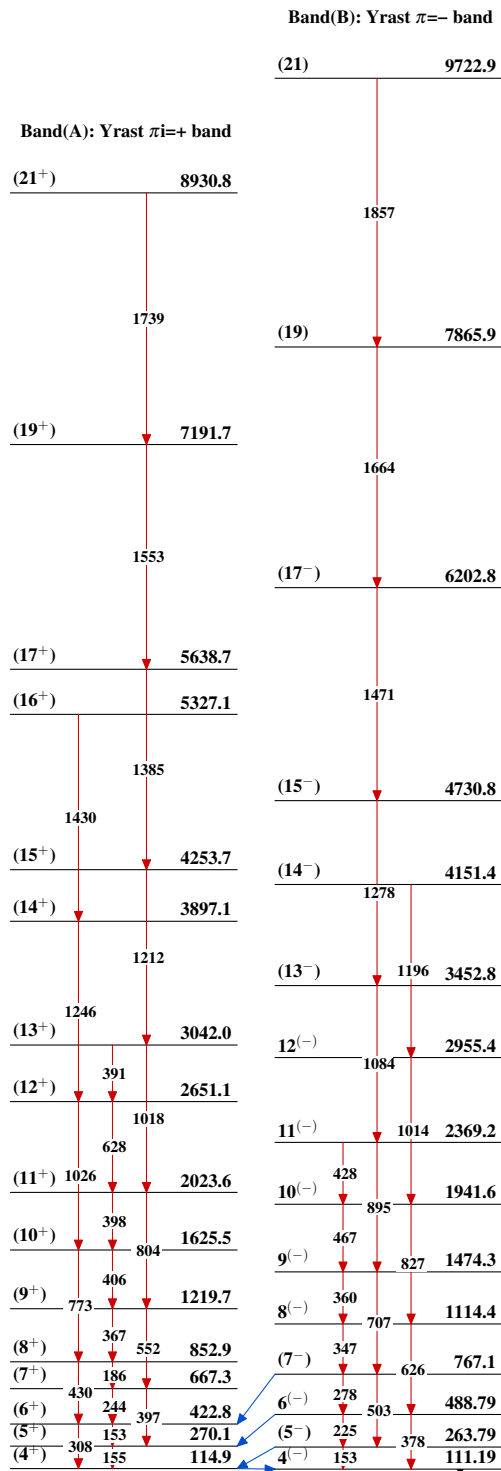
Intensities: Relative photon branching from each level

-----►  $\gamma$  Decay (Uncertain)

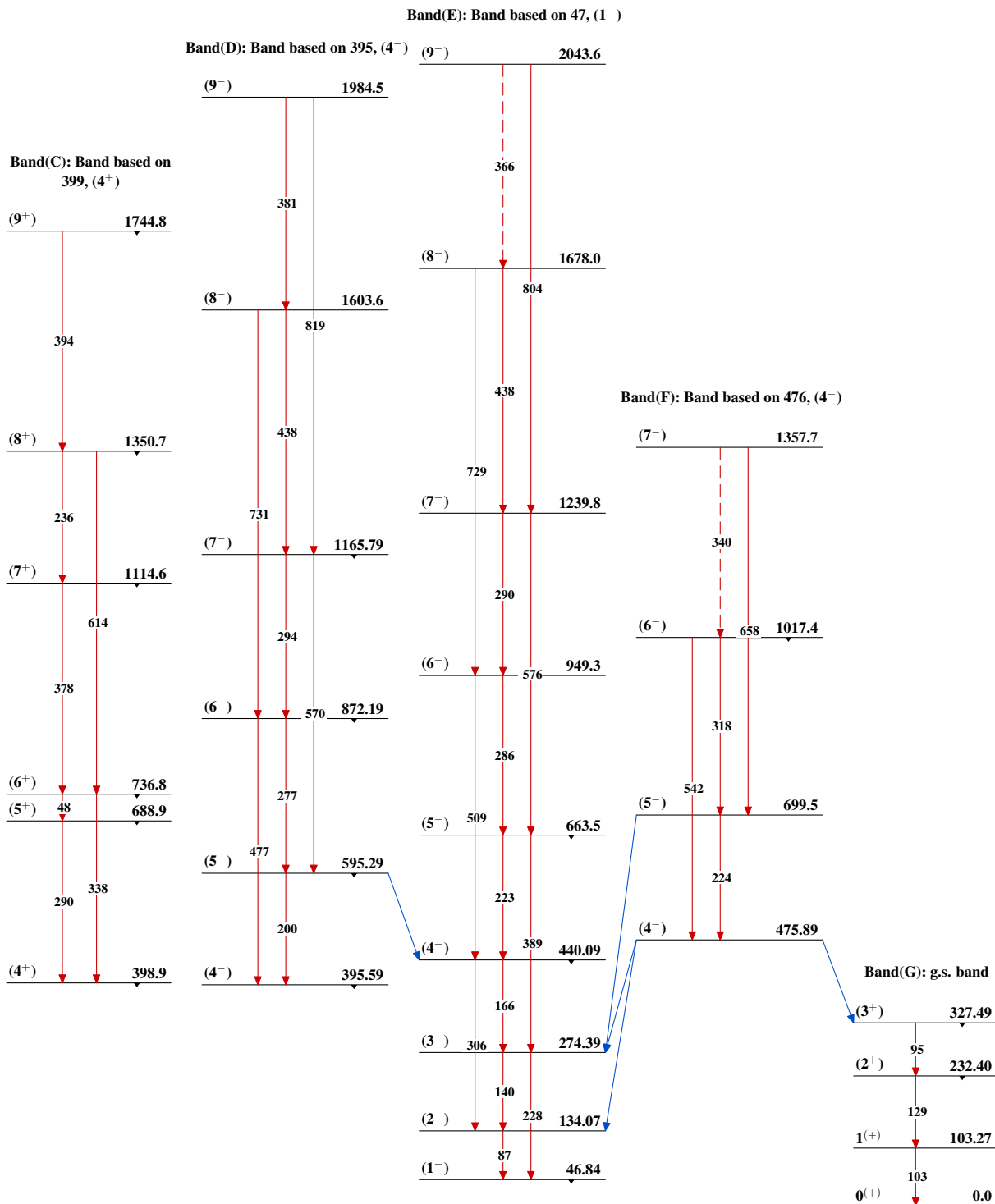


$^{78}\text{Rb}_{41}$

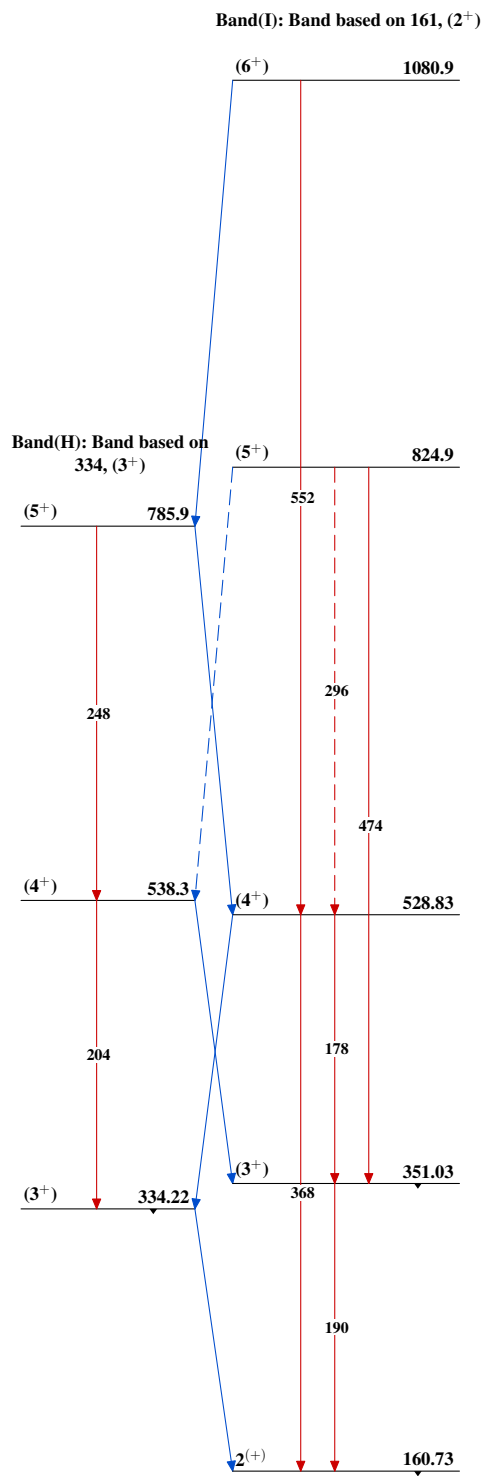
**Adopted Levels, Gammas**



**Adopted Levels, Gammas (continued)**



$^{78}_{37}\text{Rb}_{41}$

Adopted Levels, Gammas (continued) $^{78}_{37}\text{Rb}_{41}$